



Luis Alberto Ballinas Ruiz

Dr. Gerardo Cancino Gordillo

Interpretaciones radiográficas

Imagenología

PASIÓN POR EDUCAR

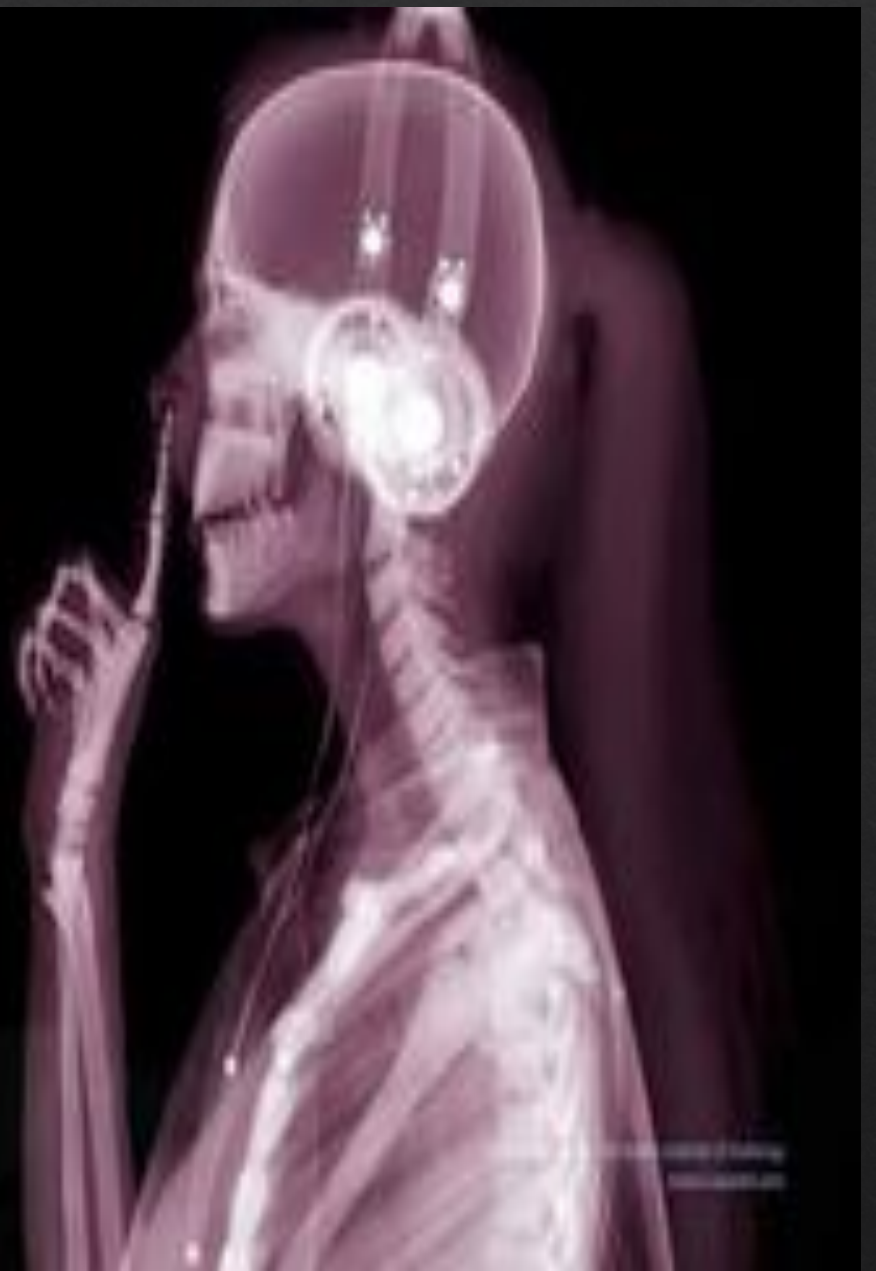
4°

“C”

Comitán de Domínguez Chiapas a 15 de marzo de 2024.



IMG. 1



IMG. 2

Imagen 1

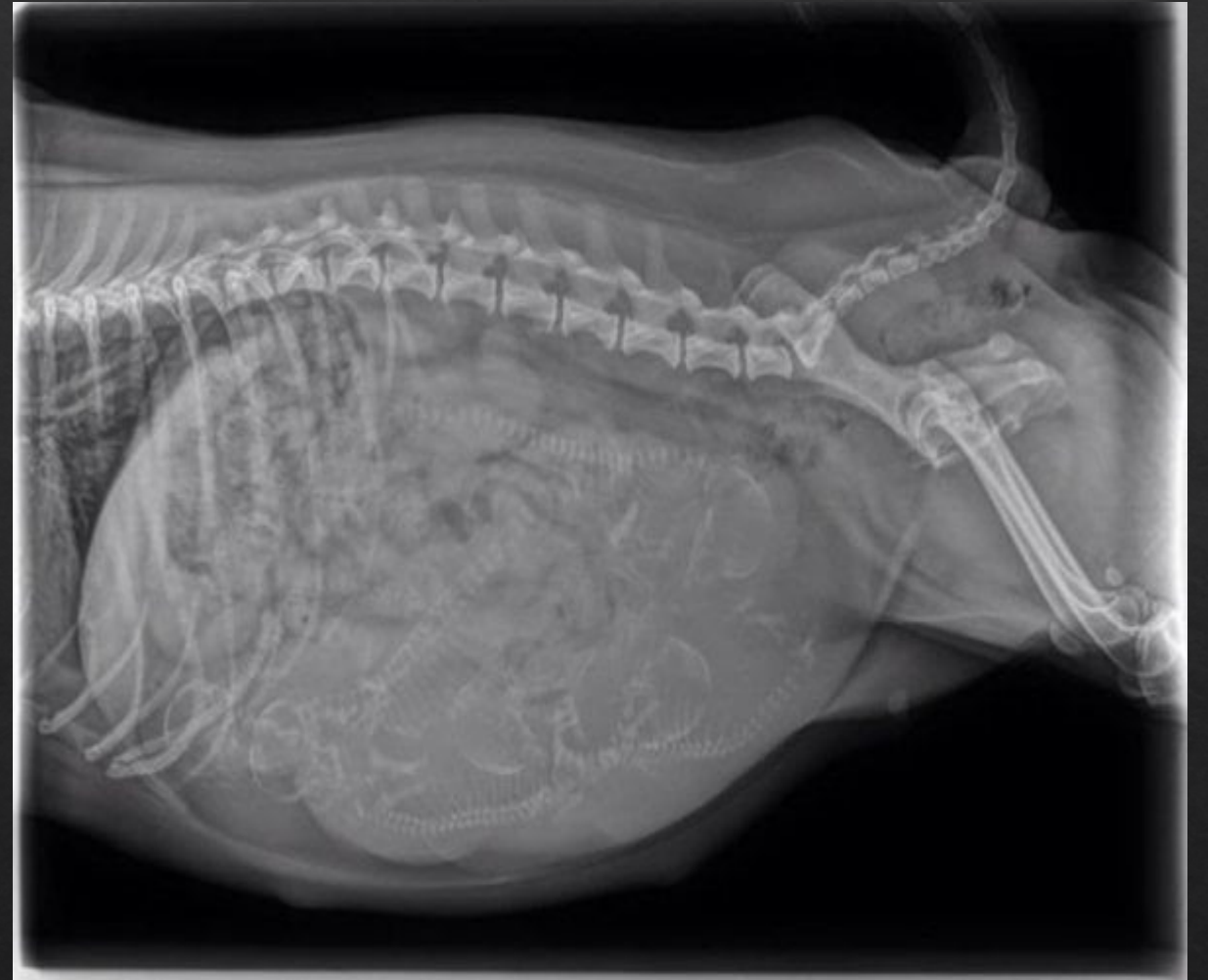
Se logra observar una radiografía de craneo en la cual observamos una masa encefálica pequeña, podemos ver la médula espinal que se dirige hacia las vértebras cervicales, podemos ver una mandíbula pequeña, la presencia de los globos oculares prominentes, observamos también la región del hueso nasal y logramos presenciar la dentadura del paciente, al igual que las capas del craneo.

Imagen 2

Se logra observar una radiografía en la cual identificamos a un paciente femenino, el cual se observa una estructura de craneo normal, podemos ver la presencia del maxilar superior y la mandíbula junto a sus piezas dentales, logramos ver la columna vertebral desde las cervicales hasta torácicas, podemos observar al , clavícula y húmero, radio, cúbito y los huesos propios de la mano, junto con los arcos costales, así también observamos que cuenta con unos audífonos en forma de diadema.



IMG.3



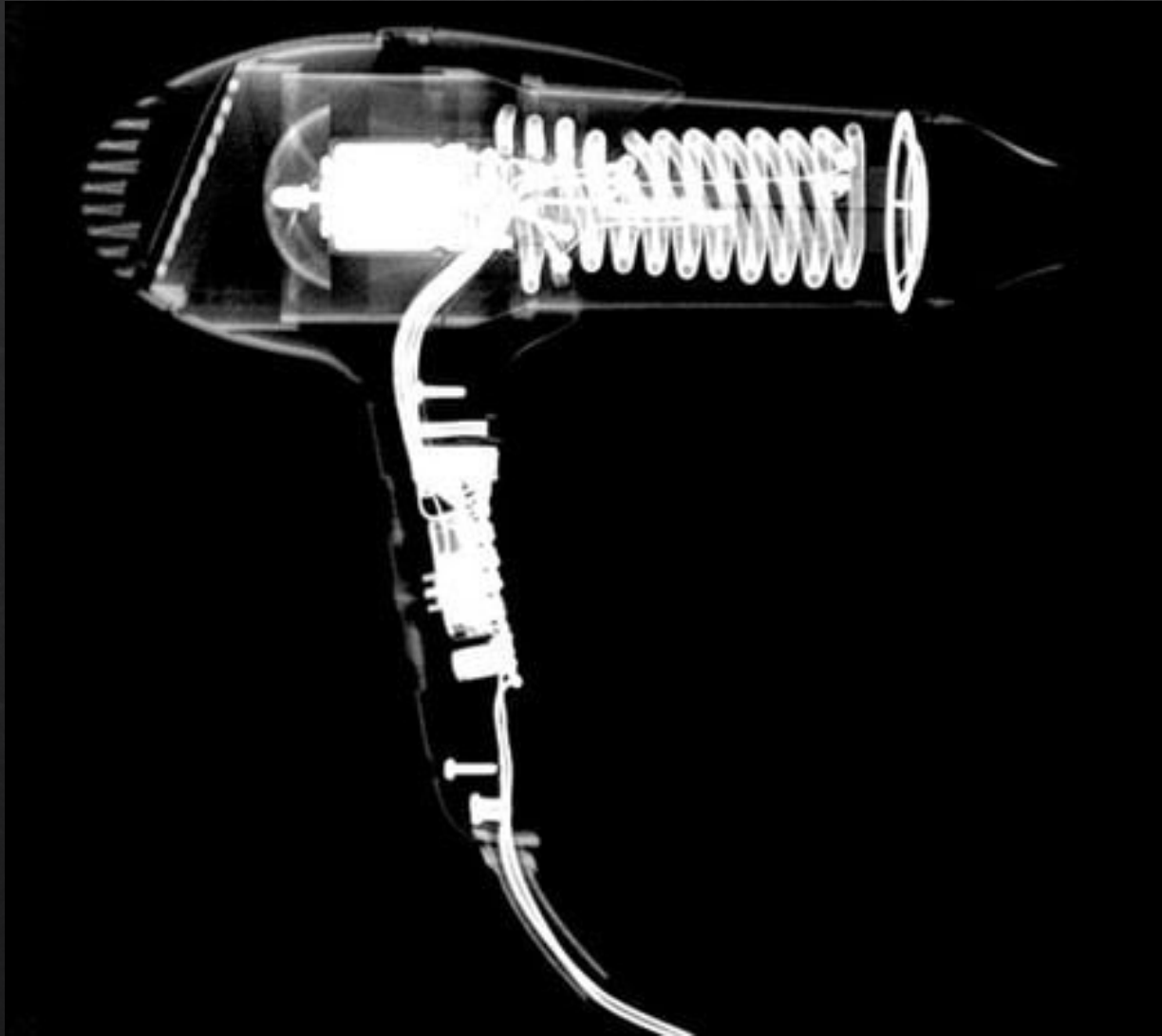
IMG.4

Imagen 3

Se logra observar una radiografía en la cual podemos ver un caballo de juguete que tiene sus cuatro patas, podemos ver la cabeza, el cuerpo, la cola y el cabello del caballo, en la cola se logra ver una liga, al igual que una etiqueta en la parte de la cabeza del juguete.

Imagen 4

Se logra observar una radiografía en la cual observamos a un animal en cual podemos ver las piezas de la columna vertebral junto con la terminación de ellas que es su cola, podemos también observar sus arcos costales junto con la masa abdominal que en este caso serían los órganos y también observamos parte de la región de miembros inferiores del animal, podemos presenciar un aproximado de 6-7 cachorros en el vientre de la hembra en los cuales observamos a las columnas vertebrales y los cráneos de los cachorros.



IMG. 5



IMG. 6

Imagen 5

En esta radiografía podemos observar una secadora para cabello en la cual podemos ver el mecanismo de la misma, junto a las conexiones que tiene dentro de ella la cual va desde el cable de corriente hasta llegar al motor de la secadora, también podemos ver el filtro de aire con el que cuenta dicha secadora, junto a la salida de aire de la misma.

Imagen 6

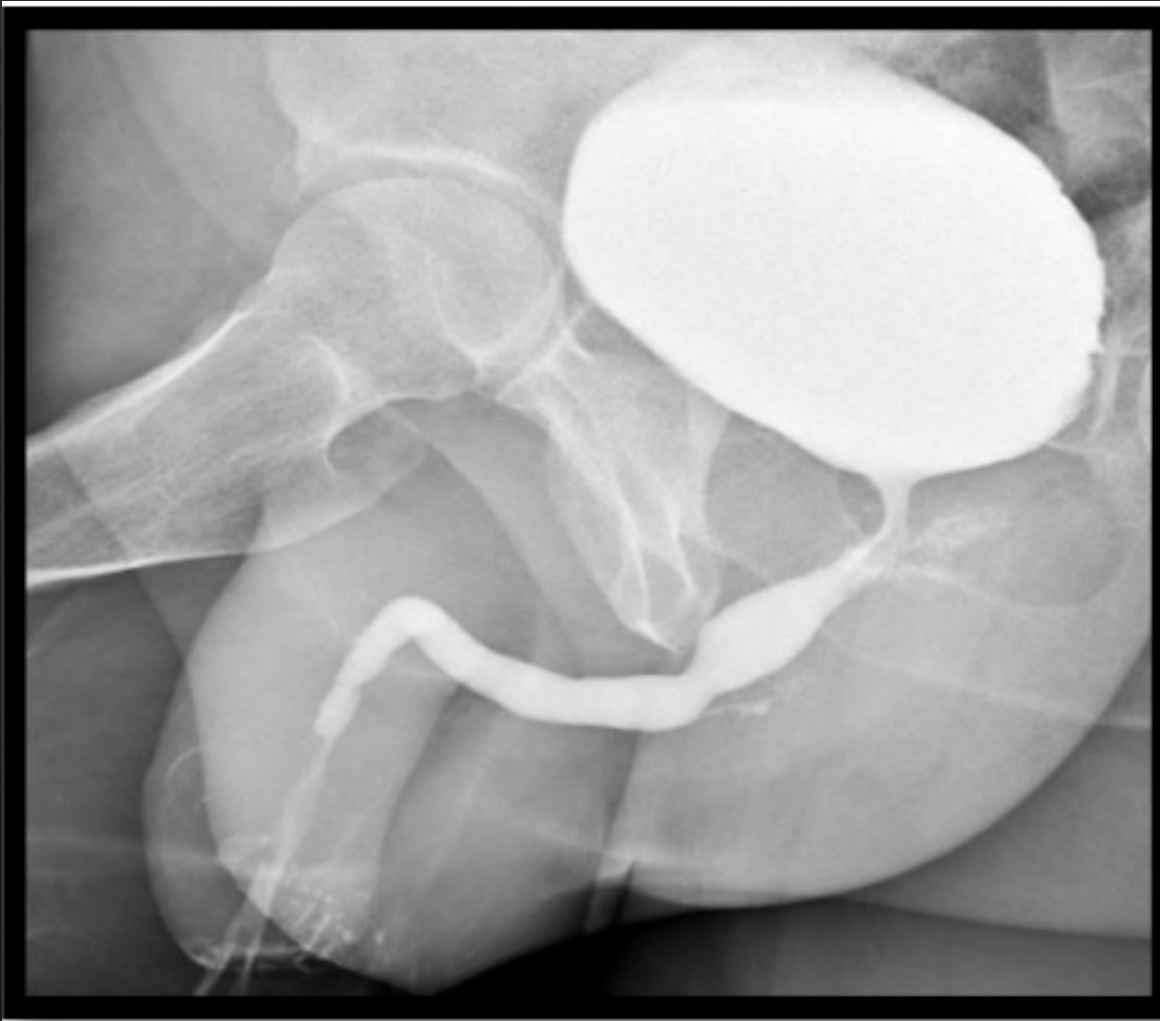
En esta radiografía podemos observar un control de PlayStation en el cual observamos todo su mecanismo, desde los josticks, los sensores de vibración, las tarjetas que manejan los botones y también la fuente de energía y señal alámbrica del mismo control, junto a los tornillos que aseguran las dos caras del control.

Imagen 7

En esta radiografía podemos observar artículos personales dentro de una maleta como un cepillo para el cabello, dos lociones, un desodorante en aerosol, ganchos para el cabello, unas tabletas con 8 pastillas, también logramos ver una especie de cuerdas, una crema corporal, una especie de ondulator de cabello y un objeto en forma de pene.

Imagen 8

En esta radiografía podemos observar una maleta de una maleta de una persona que realiza diversos deportes, en ella cuenta con tenis para pista, unos goggles para nadar, una pesa e incluso una pelota con la cual realiza un deporte de lanzamiento que está anclada con una cuerda, también observamos una bolsa con artículos personales como un rastrillo, un cortaúñas, desodorante y un peine, también vemos un juego de llaves y una especie de un patito de baño.



IMG. 9



IMG. 10

Imagen 9

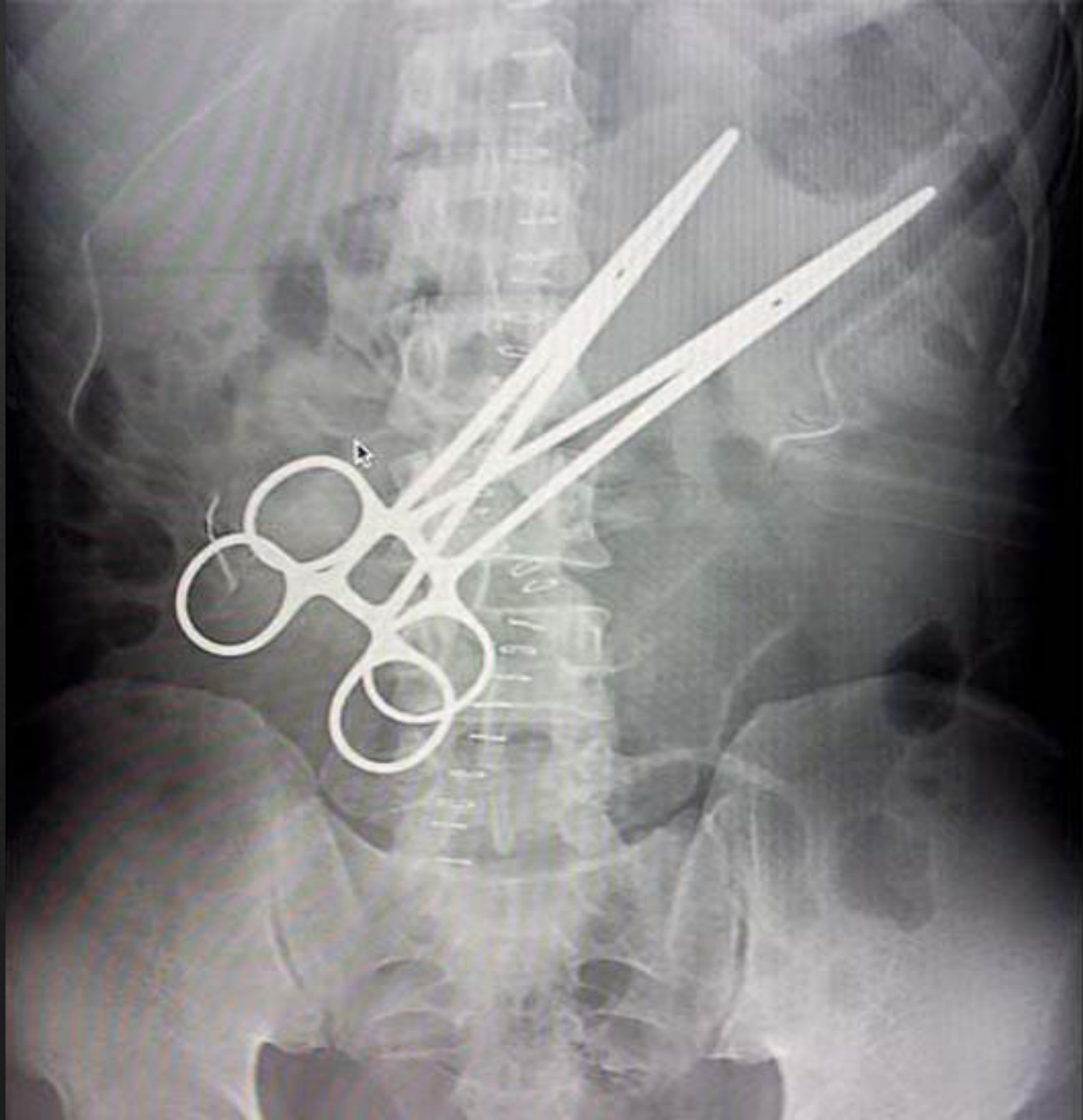
En esta radiografía podemos observar la vejiga junto con la uretra, también podemos ver la unión de la cabeza del fémur con la pelvis, el pene y los testículos.

Imagen 10

En esta radiografía podemos observar la parte de porción del intestino, también podemos observar la región vaginal, el útero, cuello, trompas de falopio, los ovarios, podemos ver a la pelvis también junto a la base que se une a la cabeza del fémur.

ACTIVIDAD 2

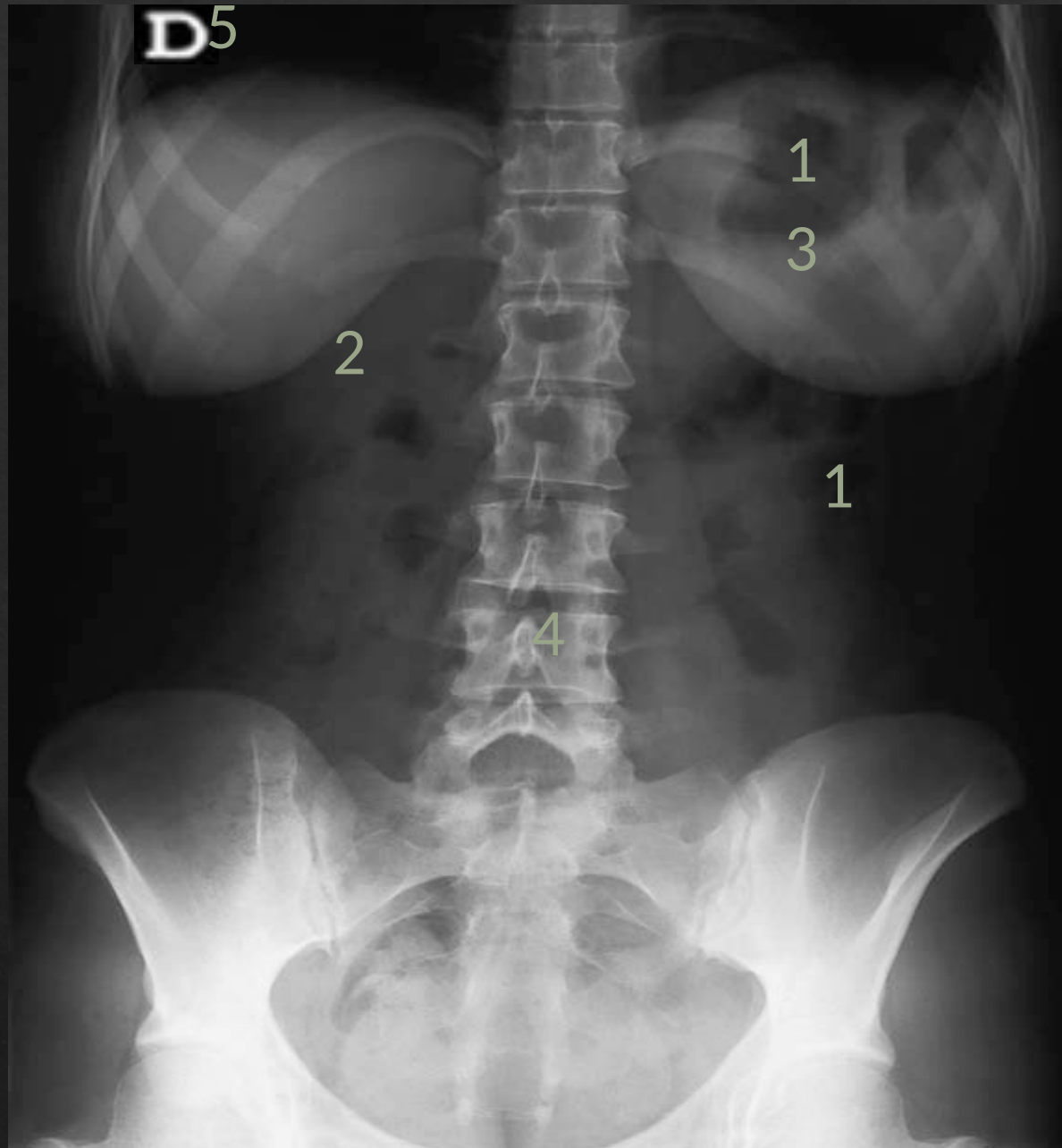
- IDENTIFICA LA IMAGEN (REGION CORPORAL, P.Ej. Radiografía abdominal)
- IDENTIFICA LAS DENSIDADES RADIOGRAFICAS QUE OBSERVAS Y NOMBRA LA ESTRUCTURA EN LA QUE SE PRESENTA
- IDENTIFICA Y CLASIFICA LAS ESTRUCTURAS RADIOPACAS Y RADIOLUCIDAS PRESENTES EN LA IMAGEN



Radiografía de abdomen

Aire	Grasa	Tejido blando/liquidos	Calcio	Metal
En flanco derecho se aprecian las asas intestinales y también podemos lograr ver en el cuadrante superior derecho al estómago	Grasa intrabdominal	Podemos observar al hígado que está localizado en el hipocondrio derecho al igual que los músculos psoas que están presentes a nivel de mesogastrio.	En la parte superior de la imagen podemos ver los arcos costales #11-12 al igual que la columna vertebral a nivel de T12 y L1-L5, la pelvis, la cabeza del fémur y las crestas iliacas.	En la región abdominal podemos ver 2 pinzas y material quirúrgico que está presente en la región abdominal, que va desde el epigastrio hasta el hipogastrio.

Radiolucidas	Radiopacas
Asas intestinales	Pinzas
Estómago	Columna vertebral
	Arcos costales
	Pelvis
	Cabeza del fémur



Radiografía de abdomen

Aire	Grasa	Tejido blando/liquidos	Calcio	Metal
En la región superior de la imagen podemos ver una porción de los pulmones en la región de los lóbulos inferiores, en el hipocondrio derecho podemos ver a las asas intestinales con una pequeña porción del estómago.	Podemos lograr apreciar a las glándulas mamarias.	Podemos apreciar a los músculos psoas que se encuentran paralelos a la columna vertebral.	Podemos ver que en la región torácica se encuentran los arcos costales #10 a 12, al igual podemos observar la porción de la columna vertebral a nivel de T11-T12 y L1-L5, también se pueden apreciar a las crestas iliacas.	No presenta datos

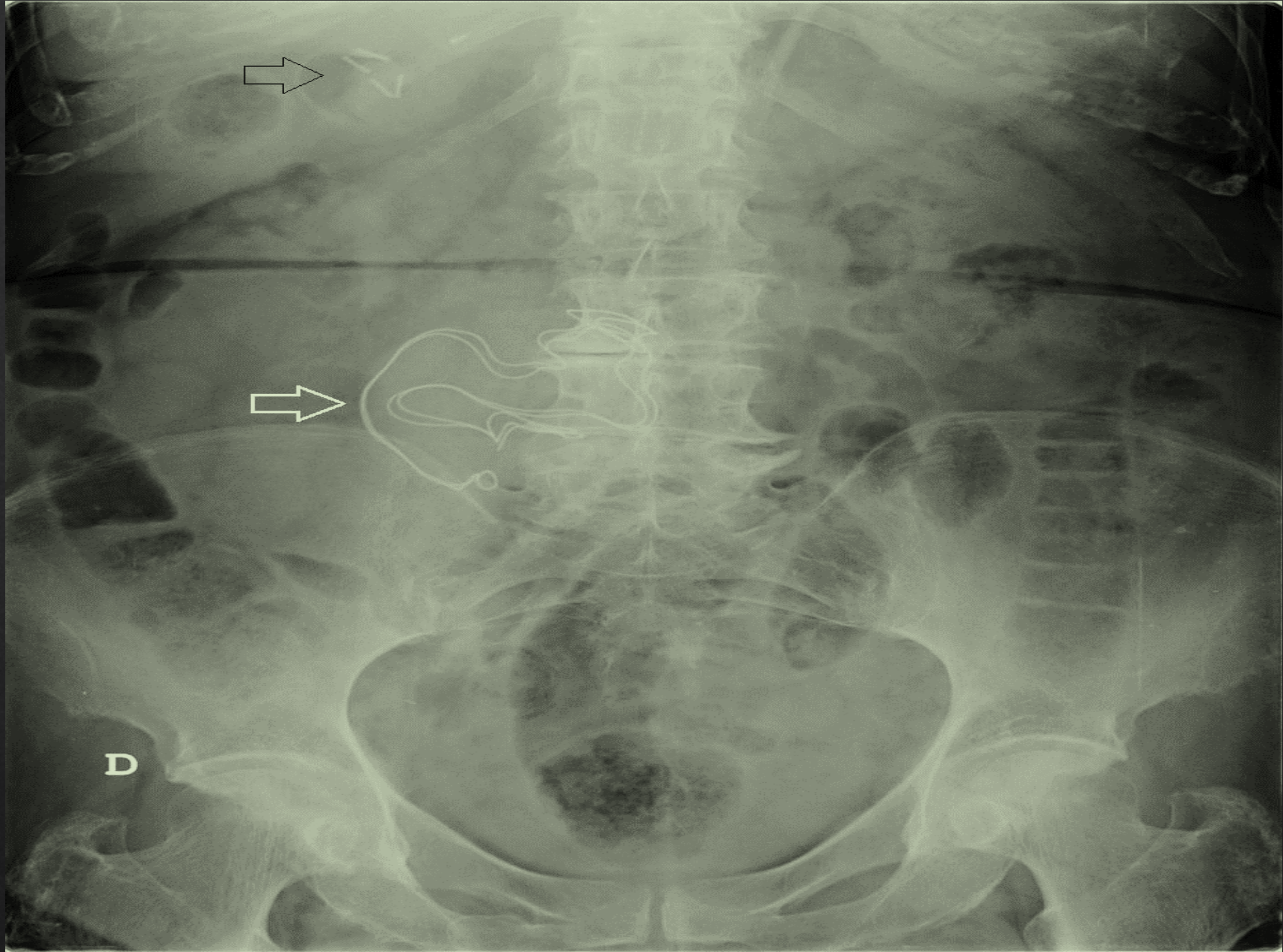
Radiolucidas	Radiopacas
Pulmones (Lóbulos inferiores)	Glándulas mamarias
Asas intestinales	Arcos costales
	Músculos psoas
	Columna vertebral



Radiografía de abdomen

Aire	Grasa	Tejido blando/liquidos	Calcio	Metal
A nivel de mesogastrio podemos observar a las asas intestinales	/	/	Podemos observar a los huesos lumbares que van desde L1 a L5, que están unidos al sacro y el cóccix, en la pelvis menor se logran apreciar unas estructuras redondas con bordes bien definidos de diferentes tamaños que pueden ser litos en la vejiga.	/

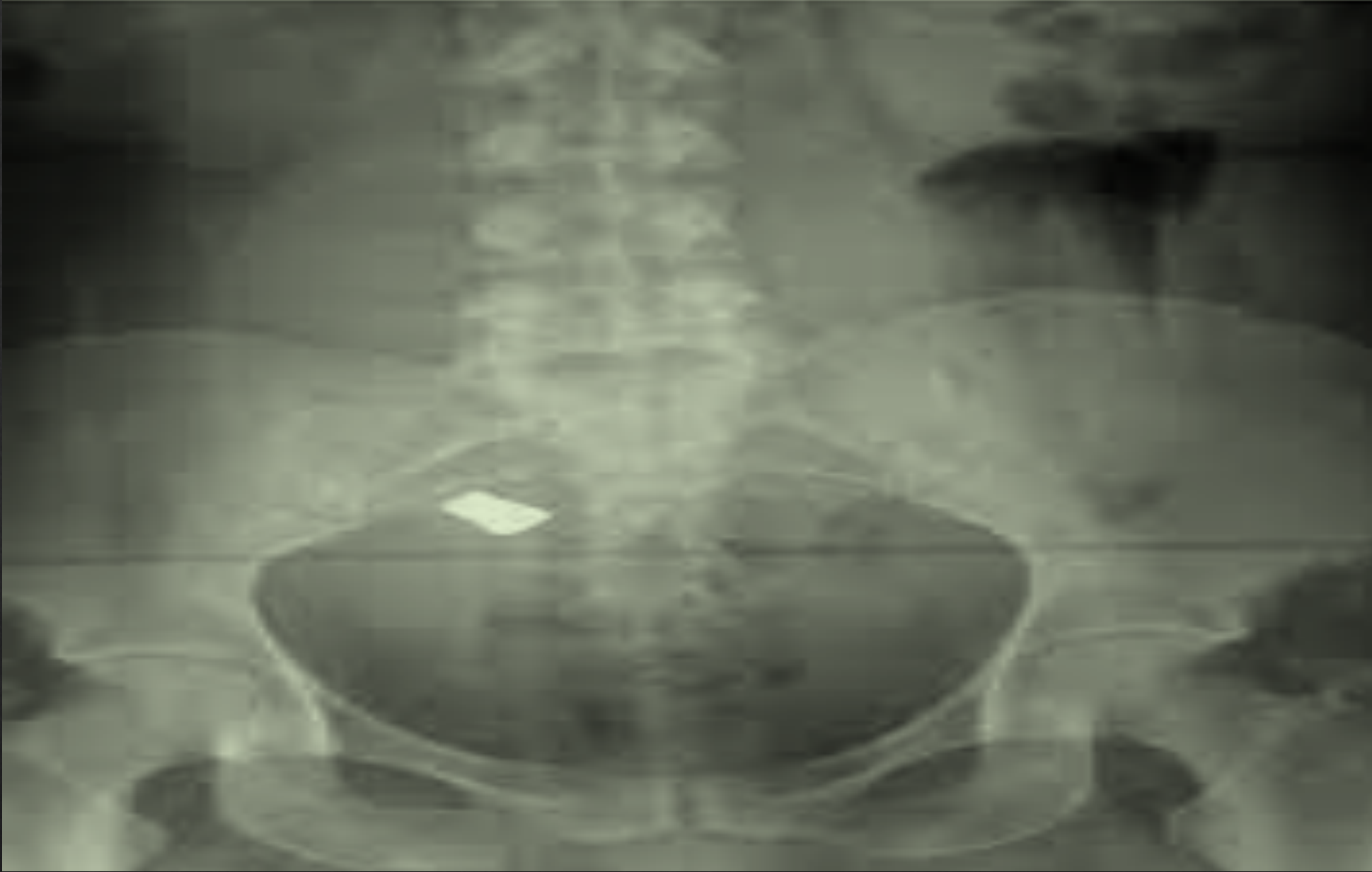
Radiolucidas	Radiopacas
Flanco derecho e izquierdo	Columna vertebral —> L1-L5 Litos (vejiga)



Radiografía abdominopelvica

Aire	Grasa	Tejido blando/liquidos	Calcio	Metal
Logramos observar las asas intestinales en flanco derecho e izquierdo lo cual vemos que es colon ascendente y descendente.	Grasa intrabdominal	Se logra ver a los músculos psoas y el recto a nivel de mesogastrio, al igual que se presenta una acumulación de materia fecal en colon.	Podemos observar al fémur, a los huesos de la pubis, las crestas iliacas, la columna vertebral a nivel lumbar L-1 a L-5, cóccix, sacro y los arcos costales flotantes.	Logramos observar una especie de grapas quirúrgicas en hipocondrio derecho al igual que una especie de material quirúrgico.

Radiolucidas	Radiopacas
Burbuja gastrica	Columna vertebral —>
Colon ascendente y descendente	L1-L5
Recto	Arcos costales #10-12
	Material quirúrgico
	Crestas iliacas
	Cabeza del fémur
	Sinfisis del pubis



Radiografía pélvica

Aire	Grasa	Tejido blando/liquidos	Calcio	Metal
A nivel de flanco izquierdo podemos observar una especie de burbuja gastrica que está ubicada en la flexura esplenica.	Grasa intrabdominal	Alcanzamos a ver a la vejiga a nivel de hipogastrio.	Podemos observar a la columna vertebral a nivel lumbar donde se aprecian desde L2-L5, las crestas iliacas, el sacro, la cabeza del fémur y la sinfisis del pubis.	A nivel de hipogastrio alcanzamos a ver una estructura con densidad metal con bordes bien definidos aparentemente pequeña.

Radiolucidas	Radiopacas
Vejiga	Columna vertebral L2-L5 Crestas iliacas Cabeza del fémur Pelvis Sacro Sinfisis del pubis